

2/27

FIG. 2

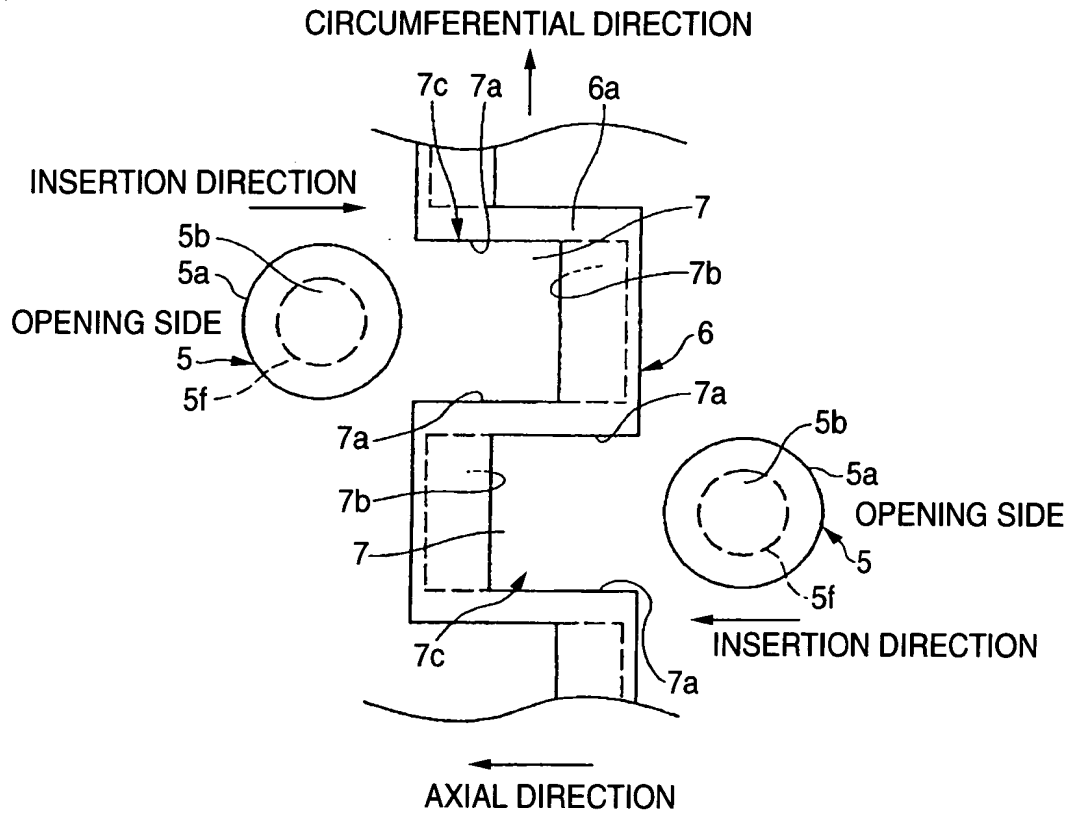
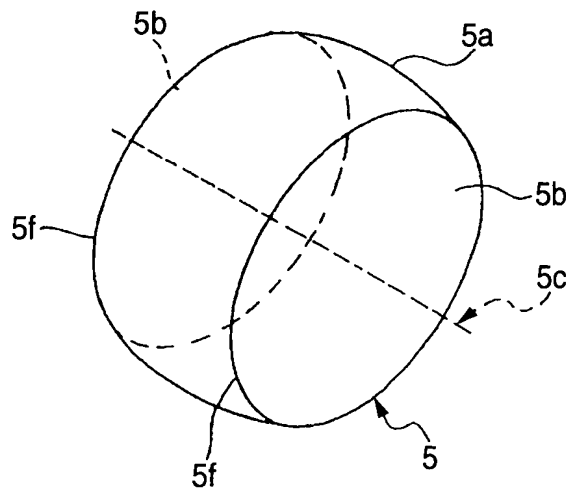


FIG. 3



3/27

FIG. 4

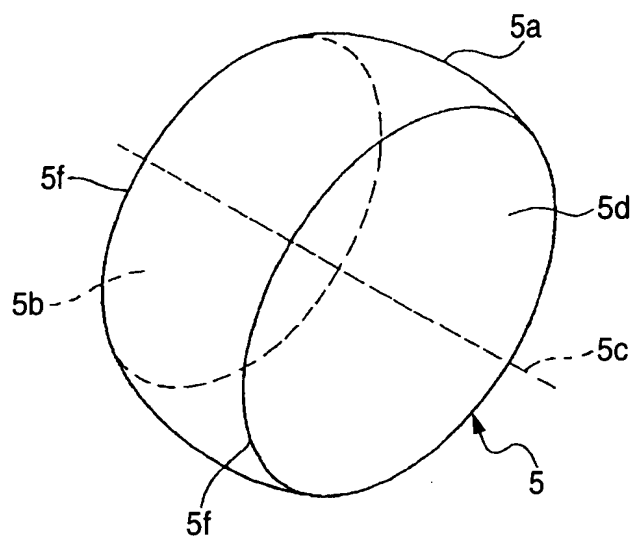
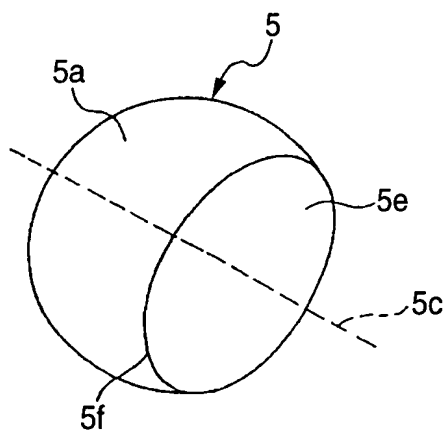
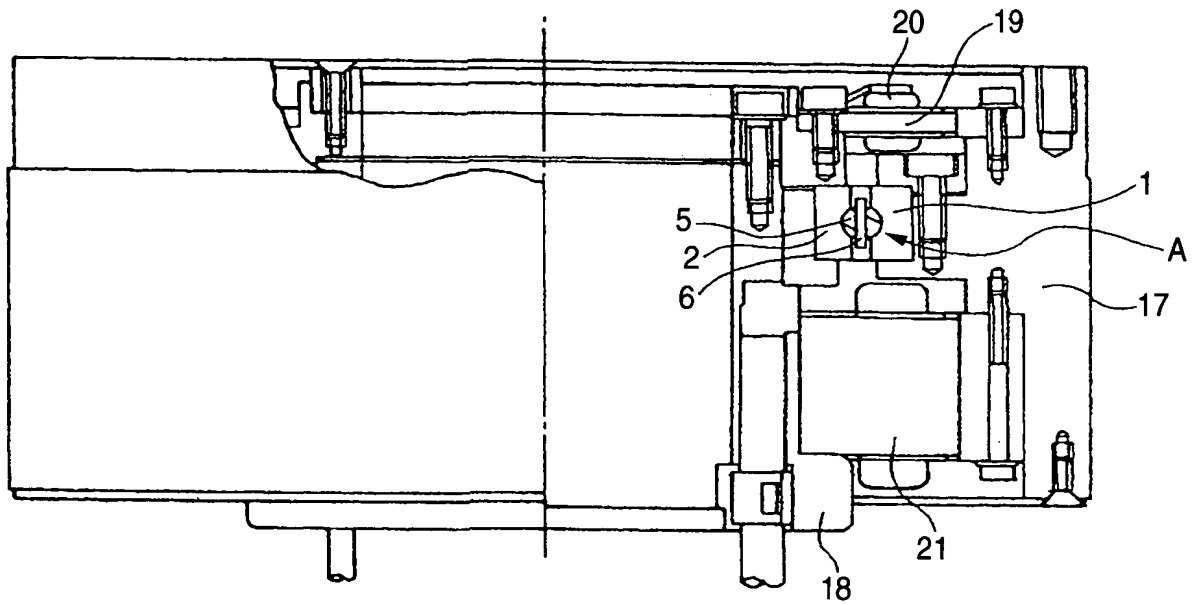


FIG. 5



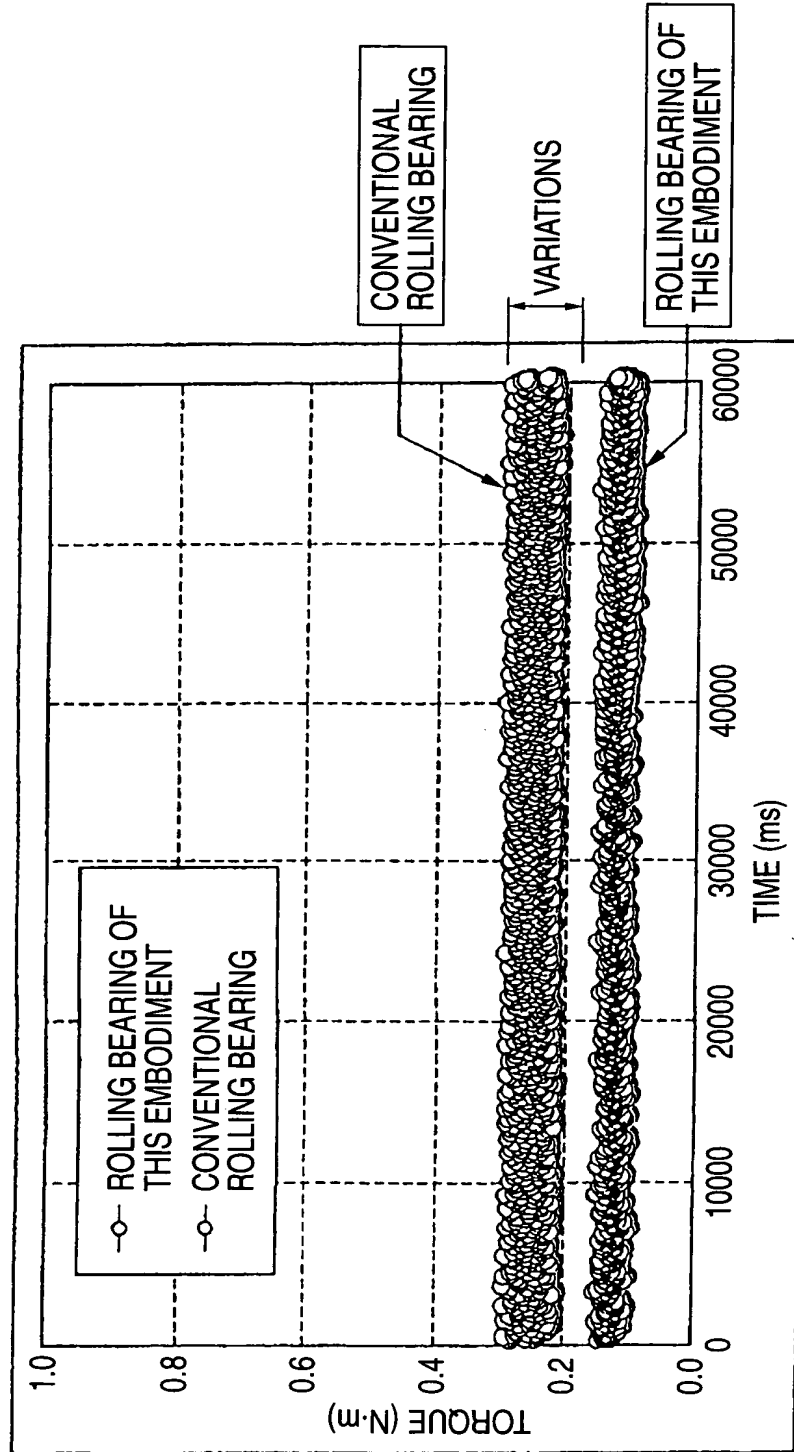
4/27

FIG. 6

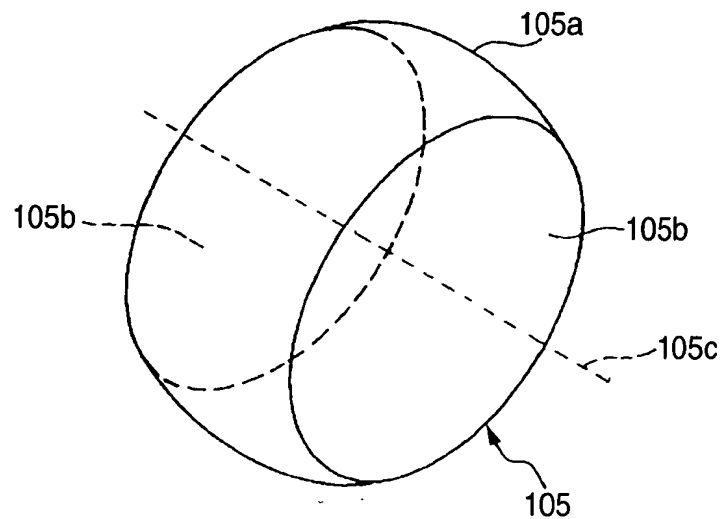


5/27

FIG. 7



COMPARISON OF TORQUE BETWEEN ROLLING BEARING
OF THIS EMBODIMENT AND CONVENTIONAL ROLLING BEARING



7/27

FIG. 10

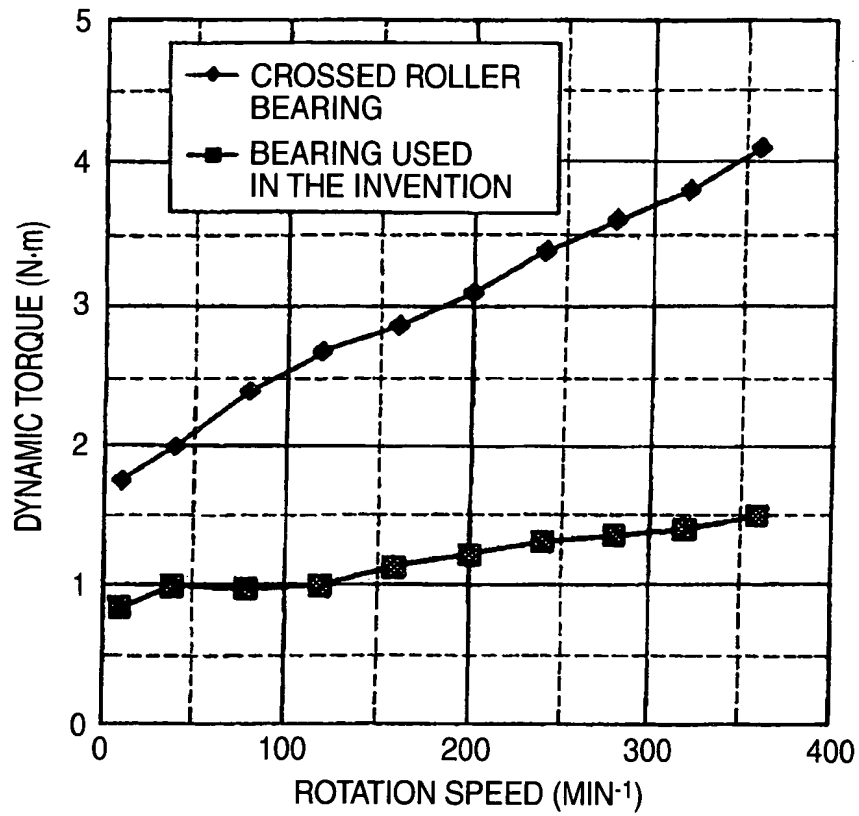
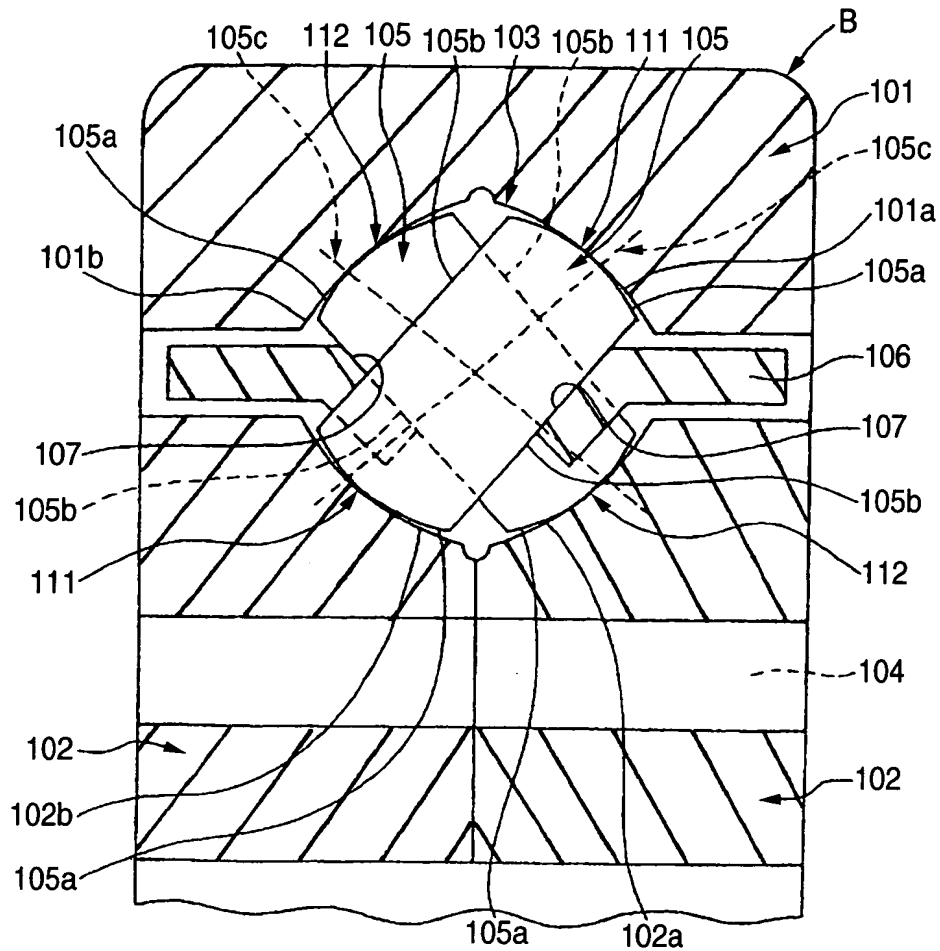
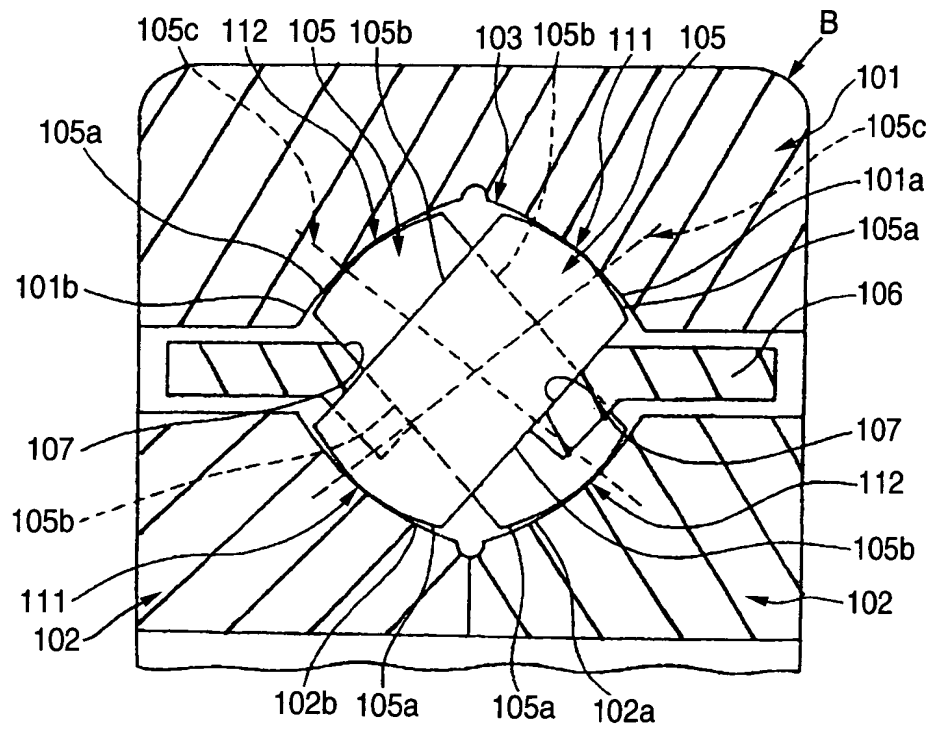


FIG. 11



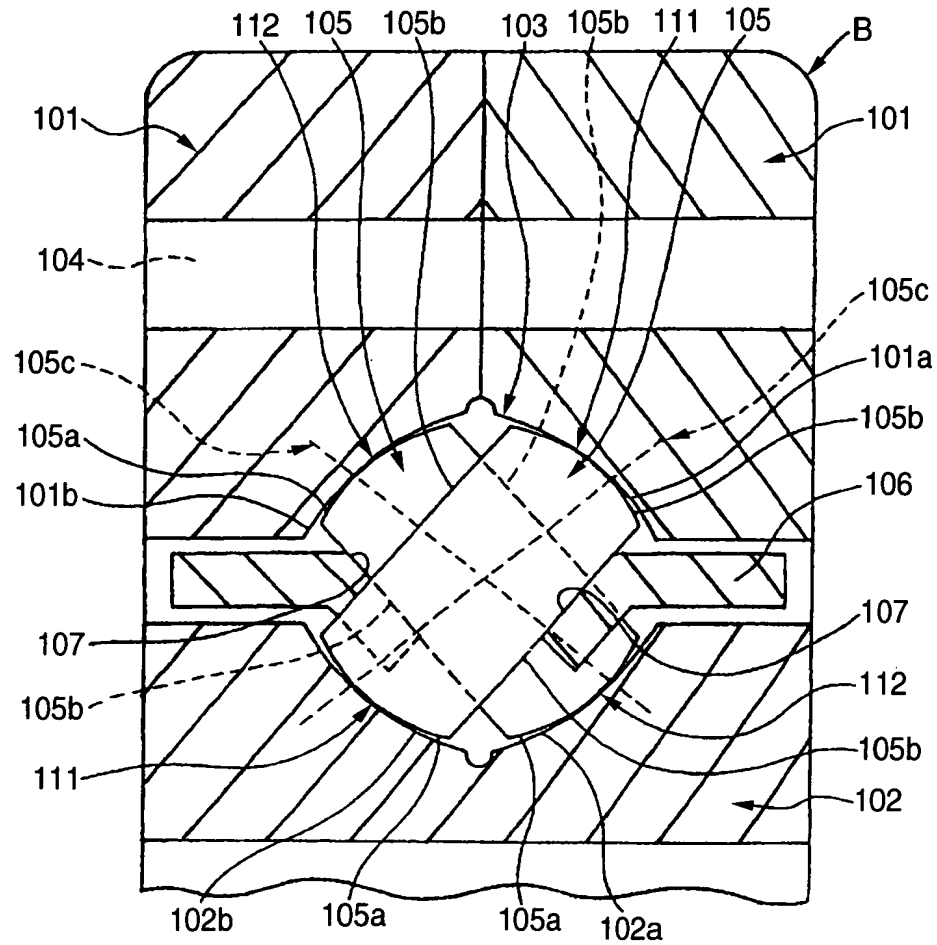
9/27

FIG. 12



10/27

FIG. 13



11/27

FIG. 14

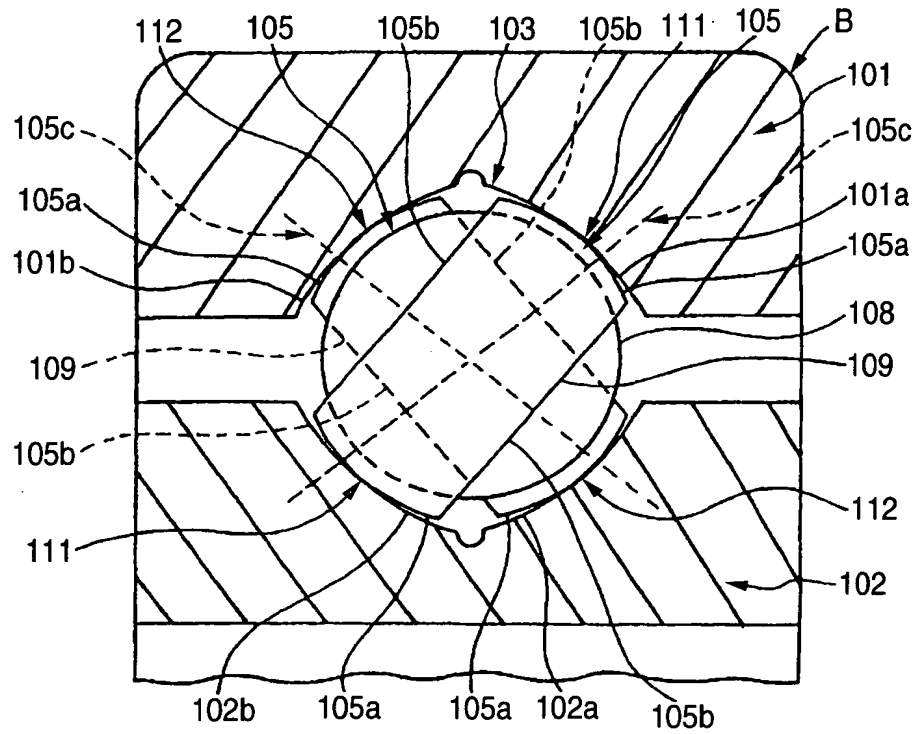
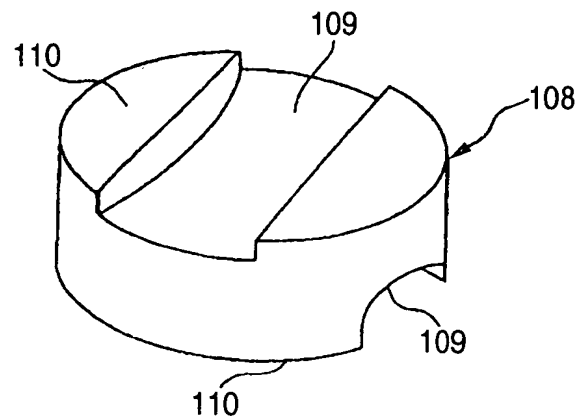


FIG. 15



12/27

FIG. 16

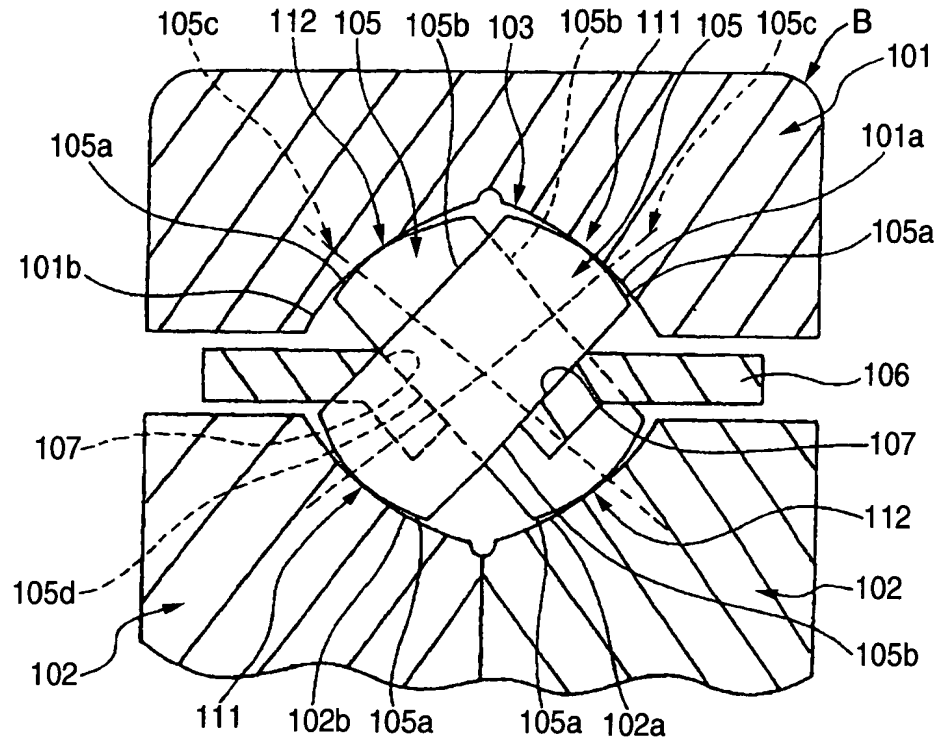


FIG. 17

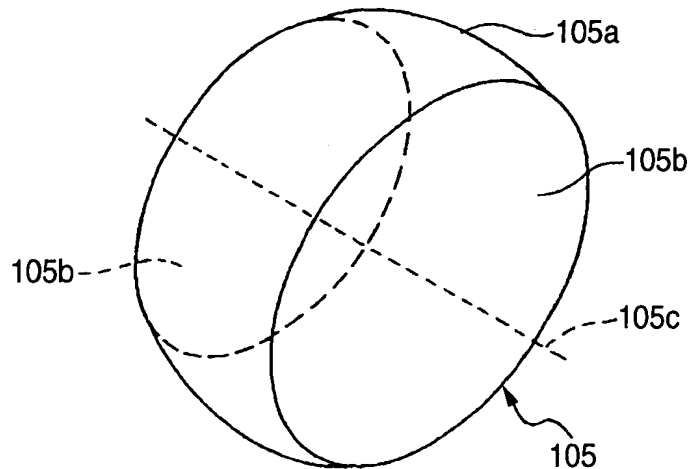
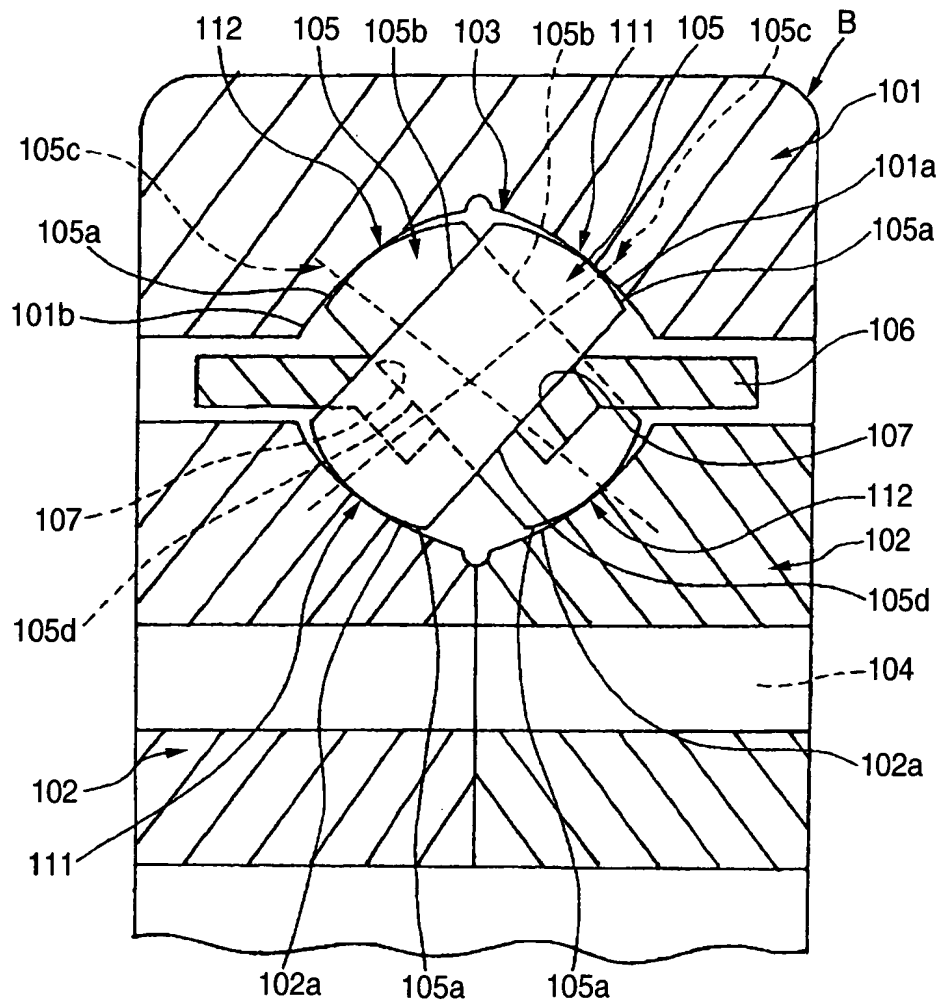
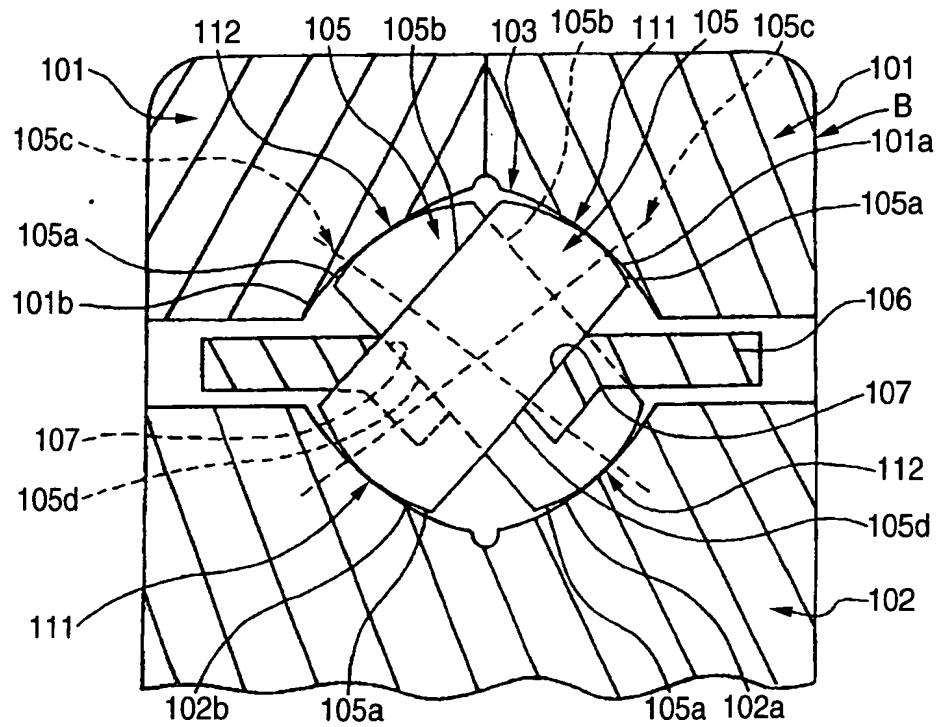


FIG. 18





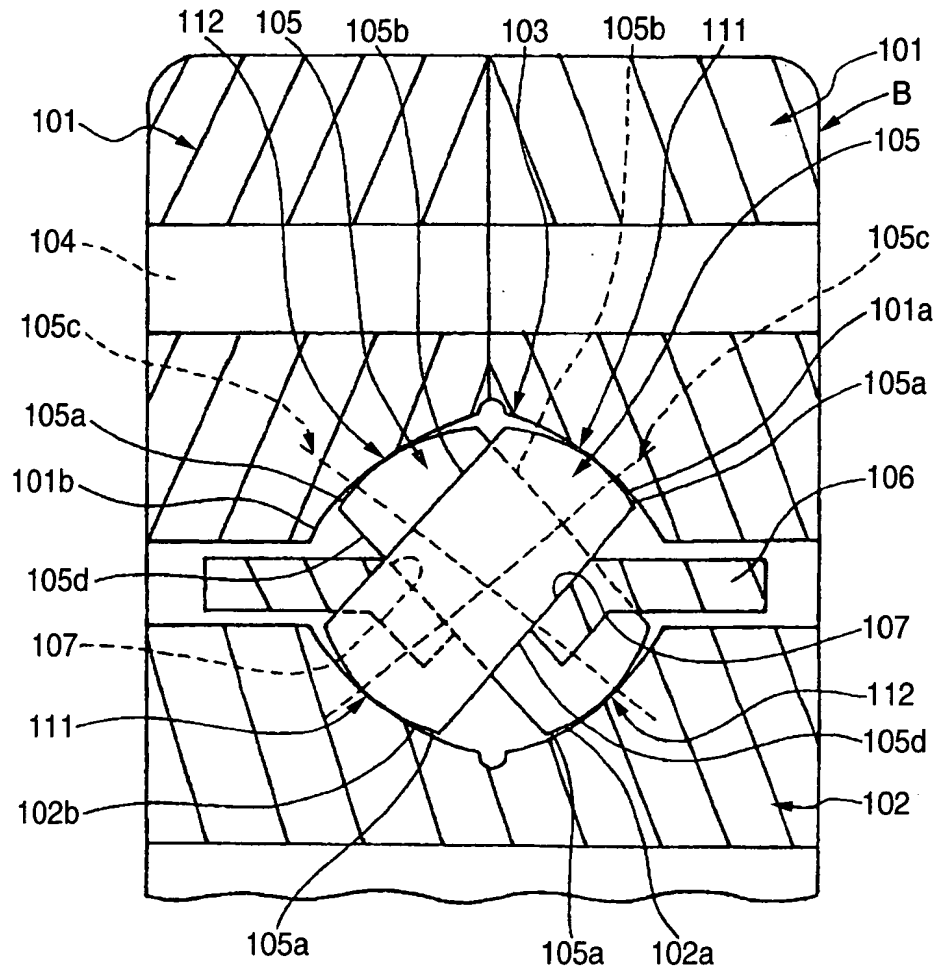
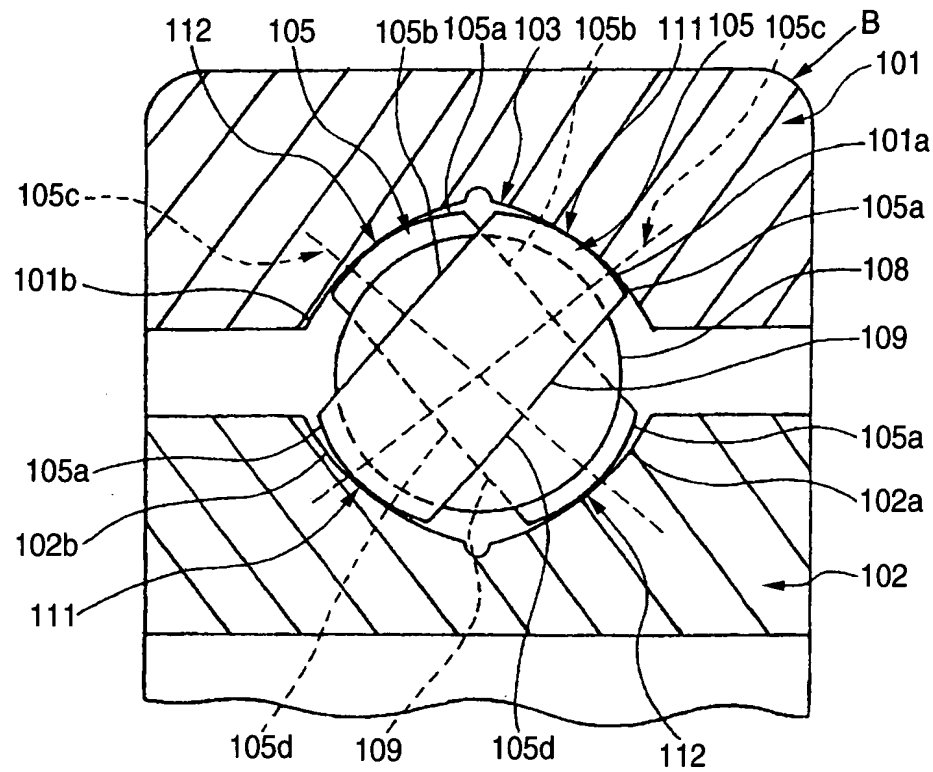
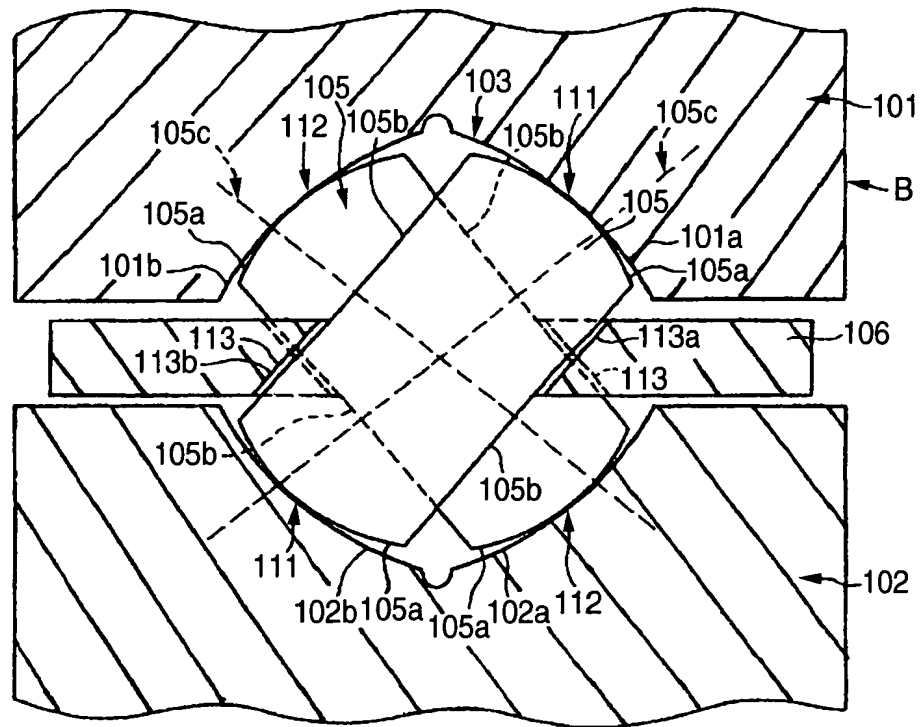


FIG. 21



17/27

FIG. 22



18/27

FIG. 23

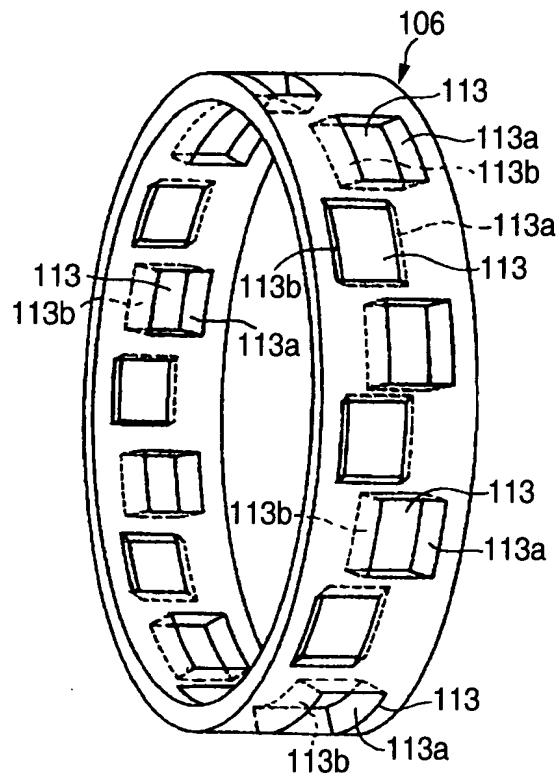
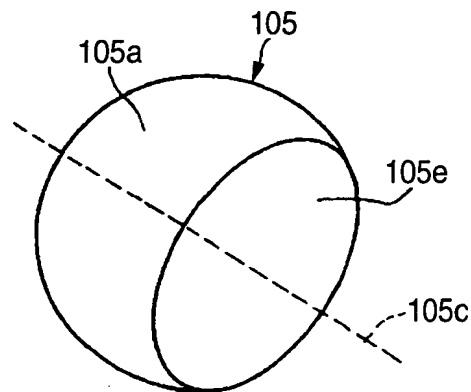
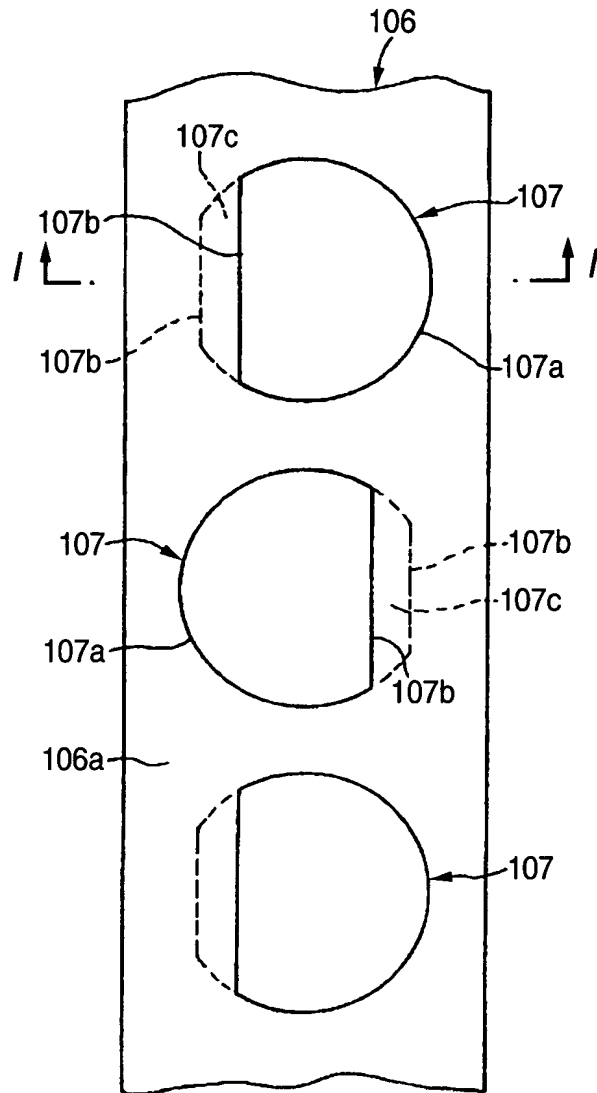


FIG. 24



20/27

FIG. 26



21/27

FIG. 27

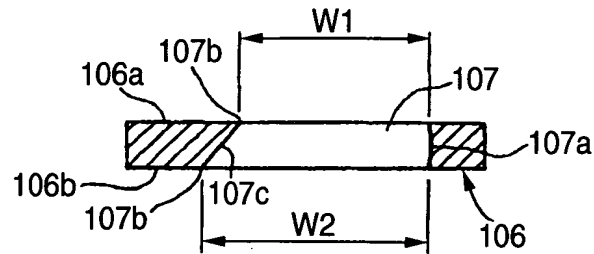
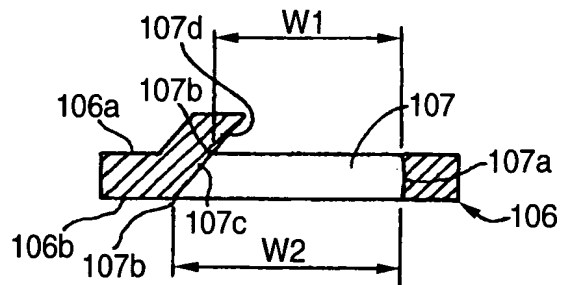


FIG. 28



22/27

FIG. 29

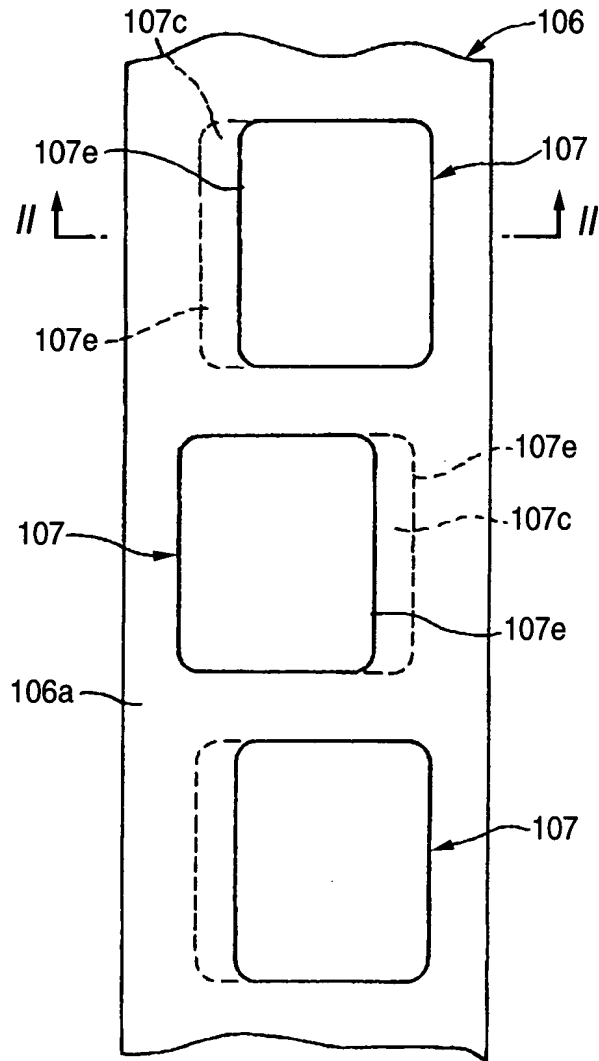
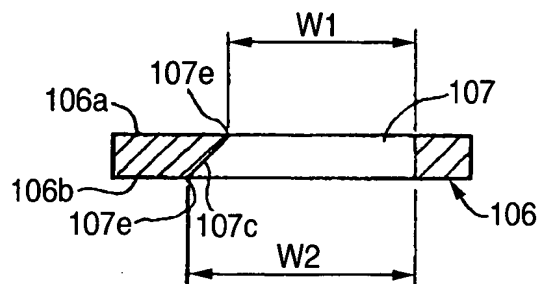


FIG. 30



23/27

FIG. 31

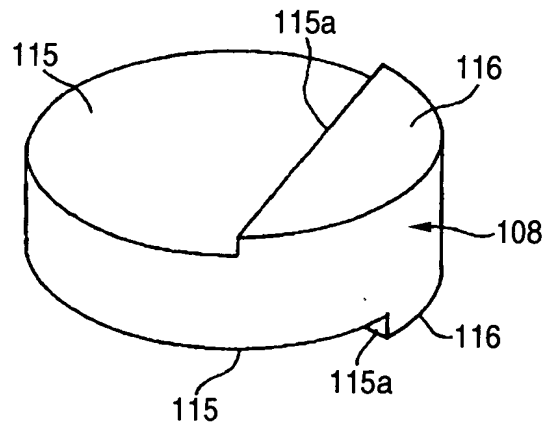


FIG. 32

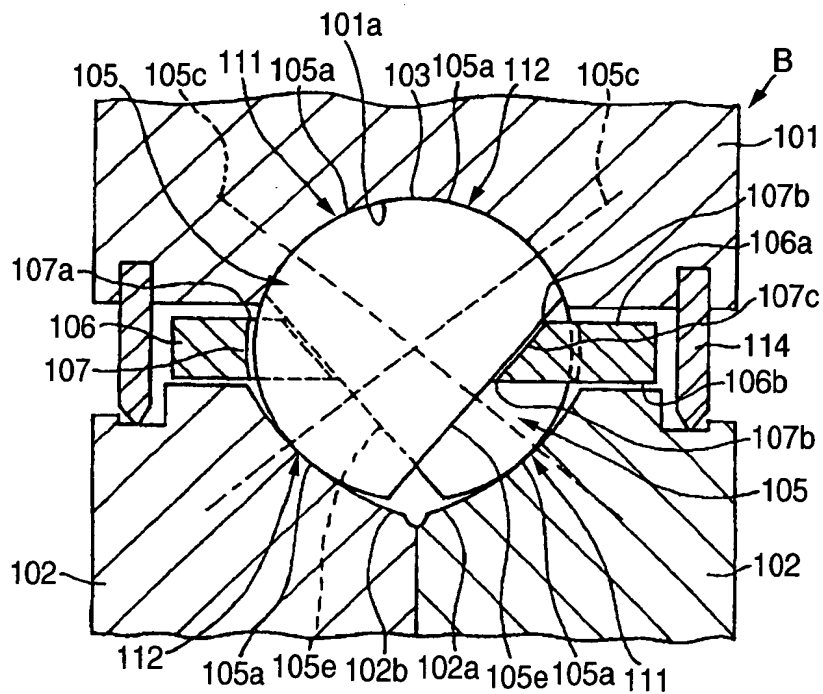


FIG. 33

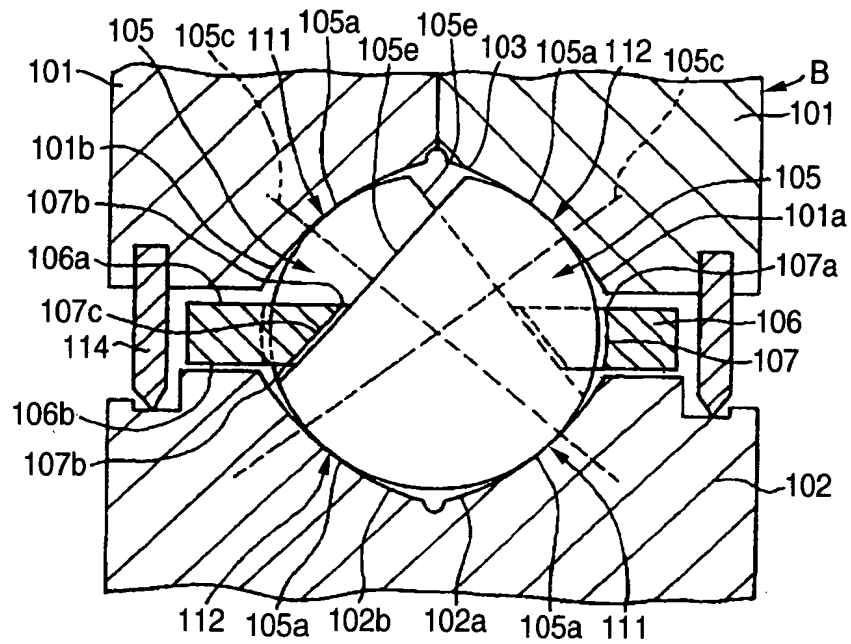


FIG. 34

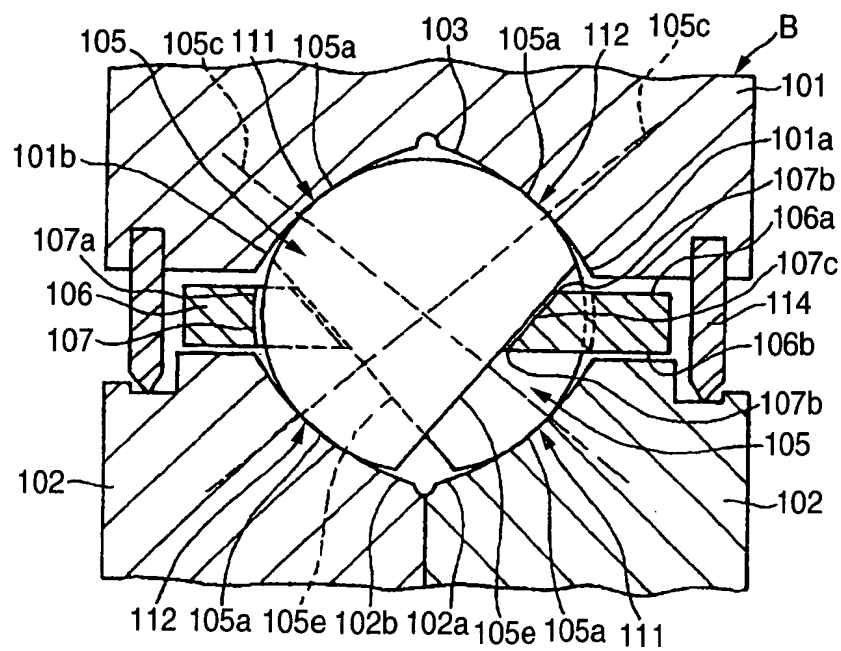


FIG. 35

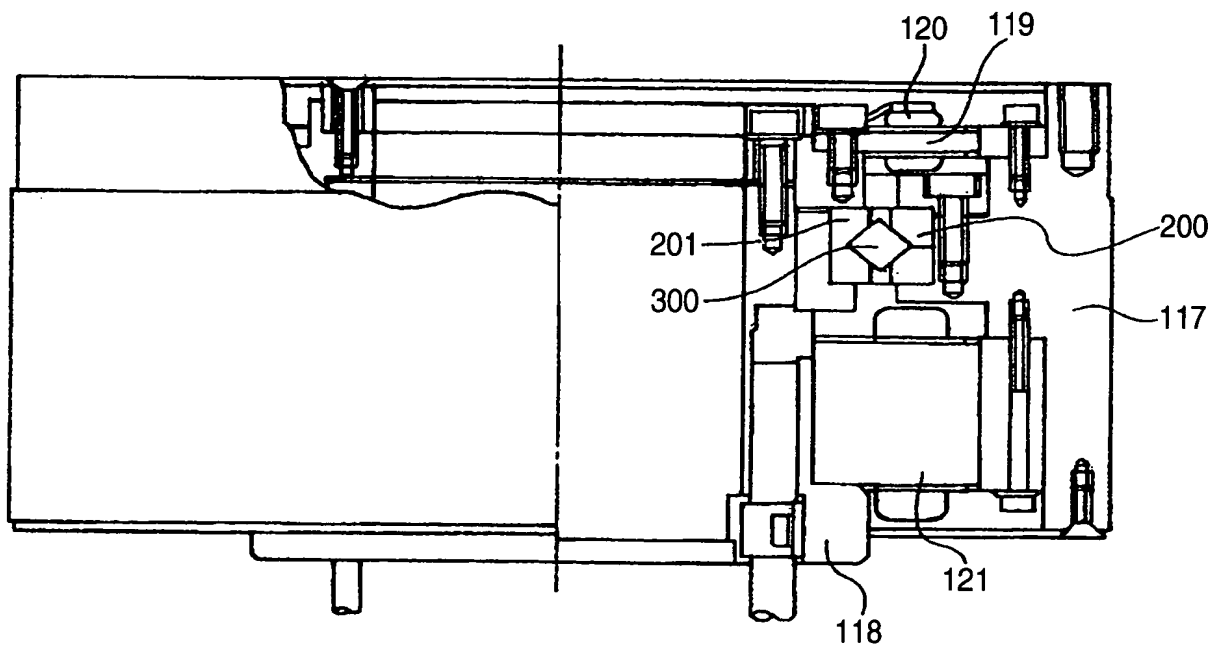
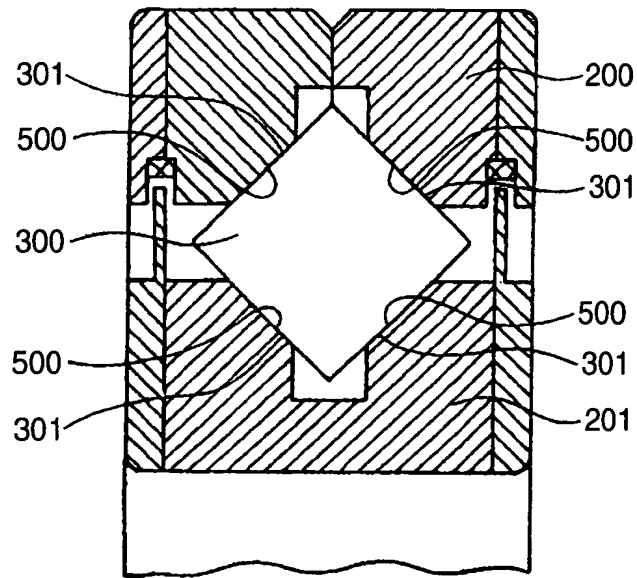


FIG. 36



27/27

FIG. 37

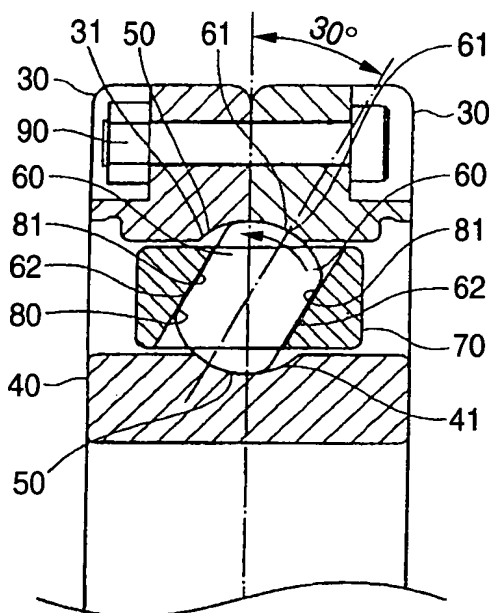


FIG. 38

